

超声波金属焊接

了解这项灵活又强大的技术

塑料焊接

金属焊接

切割

清洗

筛分



North Billerica (USA), 2022/11

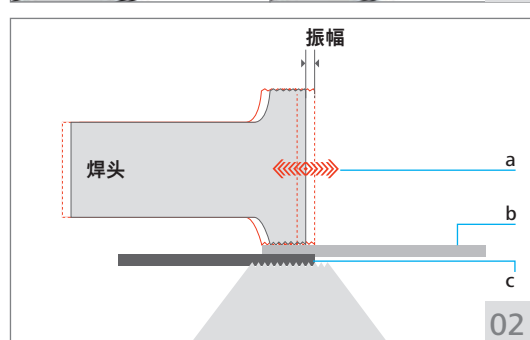
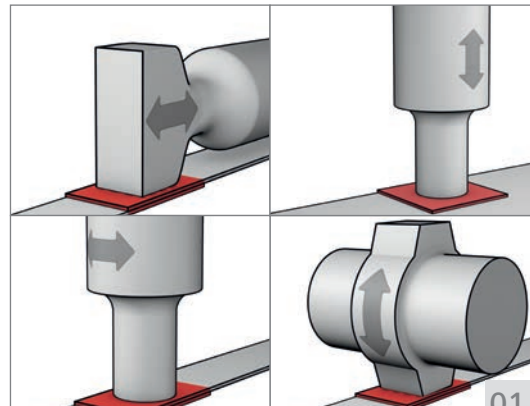
作为一项数十年来在各行各业广泛应用于焊接和接合应用的技术，超声波技术显然正在迅速成为制造混动车与纯电动车所需多种连接器和线束组件的金属焊接应用的优选工艺。随着超声波用于金属焊接应用的整体关注度不断提升，Telsonic 旗下的 Telsonic 波士顿公司应用经理 Greg Rusnak 在这篇内容详实的文章里概述了原理、方法、优势以及最关键的内容——影响焊接质量的因素。

技术概述一览

Telsonic 开发出四种不同的超声波焊接工艺，即两种线性以及两种扭转焊接，均可广泛应用于塑料和金属焊接应用。线性工艺是水平或垂直方向上的工艺，而扭转工艺是 Telsonic 独有，被称为 SONIQTWIST® 和 PowerWheel®。

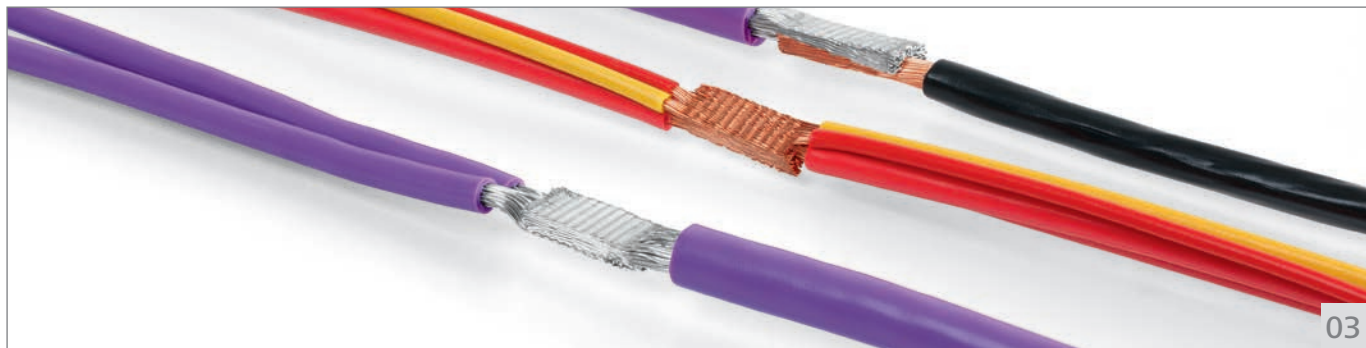
关键在于理解每种不同工艺的原理，同时明确每种工艺带来的好处。下图说明线性焊接工艺的基本原理。随着焊头来回移动（术语称为振幅），被焊接的部件也移动到下部件上方，下部件被牢牢夹持在底砧中。

术语“振幅”描述的是焊头纵向膨胀和收缩的程度。振幅与焊缝交接面的粗加工效果相关联。这种粗加工运动与压力结合，完成焊接工艺。线性焊接工艺可以水平姿态（如图）或垂直方向实施。线性超声波焊接工艺满足金属焊接应用的许多要求，并且能够接合不同金属。焊接成品导电性极佳，并且焊接坚固，母体材料无结构变化。



01 从左上到右下 – 线性水平、线性垂直、SONIQTWIST® 和 PowerWheel®

02 a. 导线内部与朝端子方向的相对运动导致焊接工艺
b. 需要焊接的部件与焊头一同移动（在焊接区域）
c. 下部件牢牢固定在底砧，不得移动



Telsonic 旗下 SONIQTWIST® 扭转焊接工艺开辟更多可能与应用。这种独特工艺尽可能减少了部件的线性振动，这种特性在可能存在传感器或其他电子组件的应用中尤为重要。该技术的其他优势包括能够成功用于难以接近的应用中，以及快速的工艺循环时间。SONIQTWIST® 也可用于塑料与金属焊接，在使用箔片或薄膜的应用中，运用 SONIQTWIST® 消除表面上的“薄膜”或波纹效应。
(查看页 1 的图 01a)

在电缆直径大、大尺寸端子和管状电缆接线片以及端子对端子焊接的金属焊接应用中，Telsonic 的 PowerWheel® 技术是理想的解决方案。PowerWheel® 在接近焊接区方面表现出色，能焊接最大 200 mm^2 的铜材料，同时焊缝收窄高达 30%。该工艺也明显改善线束压实，呈现出色的焊接强度。

(查看页 1 的图 01b)

影响焊接质量的因素

材料选择

影响焊接质量的因素众多，包括要接合的材料、表面条件、焊接参数和所用设备、工件设计，当然还有各种人为因素。最适合超声波焊接工艺的金属类型为铝和铜。一般来说，材料越纯，越适合超声波焊接。不过，可视具体合金而定考虑以下评估：不含铅黄铜（例如 Ms63、CuZn37）、镍银和青铜（最高 8.5% 锡）。此外，铜基板上的金、银和镍涂层也适合基于特定参数的超声波焊接工艺。

对于镍 (Ni)，涂层厚度应介于 3 至 $12\mu\text{m}$ ，首选化学无电镀工艺且存在低于 1% 的磷。理想情况下，镍 (Ni) 基底上的银 (Ag) 涂层厚度应介于 3 至 $5\mu\text{m}$ ，表面应尽可能光滑细腻或抛光。金 (Au) 具有良好的可焊性，涂层工艺应作为最后一步实施，在冲压或折弯操作之后。超声波焊接铝时，关键在于纯度至少为 99.5%，并且不得出现阳极氧化、硬质阳极氧化或任何方式的涂层处理。



a 04



b 04



c 04

03 铜 / 铝组合的导线编接

04 SONIQTWIST® 应用示例包括 (a)：螺栓焊接至当前连接器，(b)：全密封金属罐，以及 (c)：IGBT 的电气连接

表面条件

与材料相关、可能影响焊接工艺质量的其他因素包括存在不利于焊接质量的提升油和添加剂。在焊接之前实施的制造工艺，例如冲压、轧制、激光切割可能导致材料硬化，并再次对超声波焊接工艺产生不利影响。此外，粗糙或不平整的表面、氧化表面或铅层或锡层表面以及含有填料的表面不适合超声波焊接。

所用材料的规格保持一致性也很关键，注意源自不同供应商的材料实际上存在差异，足以影响焊接工艺。

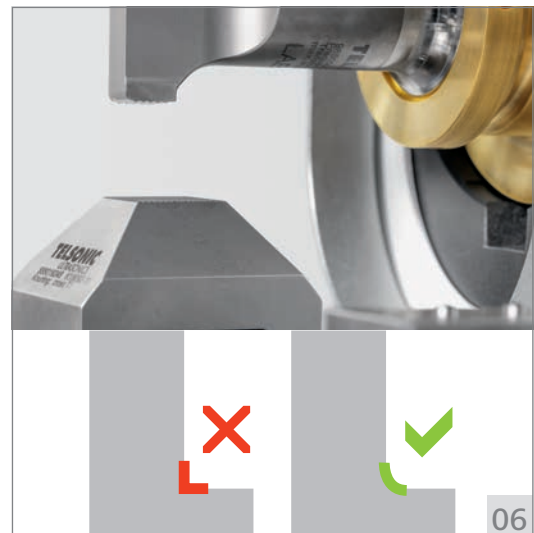
工件设计和设置

对于任何制造工艺，需要检查与组件设计和工艺设置相关的许多部分，确保高效又一致的超声波焊接结果。

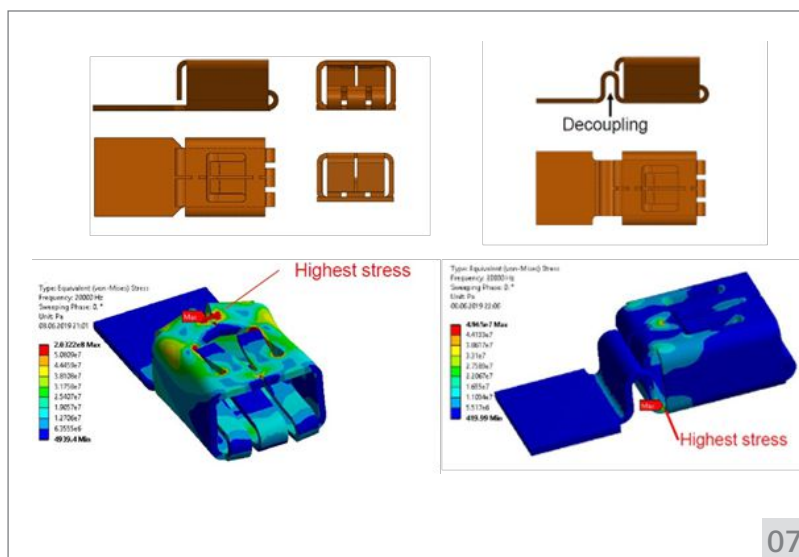
在基本设置层面中，关键在于确保底砧放在焊接区域正下方。在底砧和焊头上具备滚花也很关键。在焊接端子时，保持端子的力在焊接结果质量中发挥重要作用，端子应仅露出小部分突出表面或完全没有突出表面。另一个需要考虑的特征是触点上不应有尖角或边缘。



05



06



07

以下示例说明了确保正确设计组件的重要性。它展示了采用硬耦合的触点的实际 FEM 模拟，其中端子错误设计会导致故障。一根铜线纵向焊接至触点表面，超声波振动被传递至承受高压的插头触点。

Telsonic 融入设计工艺，通过让插头触点与焊接表面解耦来优化组件设计。这意味着只有少量振动传递至触点，消除前述损伤。

05 金属表面条件将影响焊接工艺质量

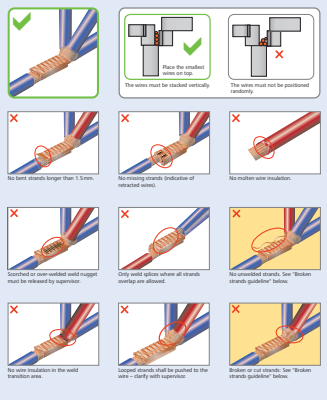
06 触点设计指南

07 最初设计 – 左图导致高压力和故障。– 右侧 Telsonic 解耦设计排除该问题

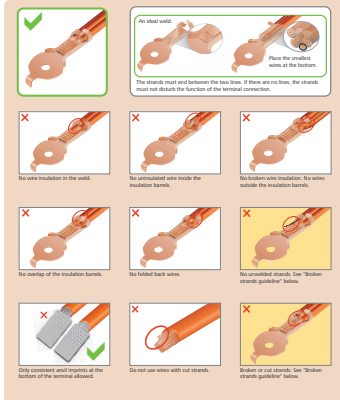
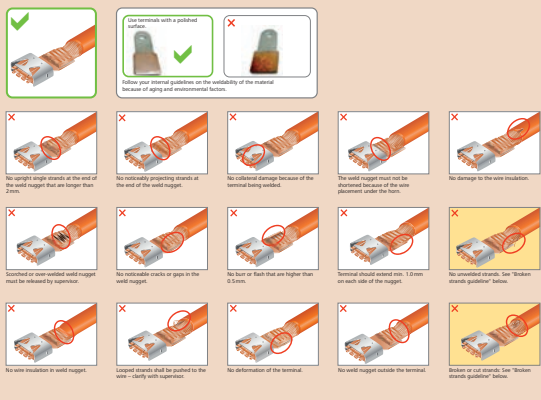
Ultrasonic Metal Welding – Quality Guidelines

TELSONIC
ULTRASONICS

Ultrasonic Wire Splicing



Ultrasonic Wire Termination



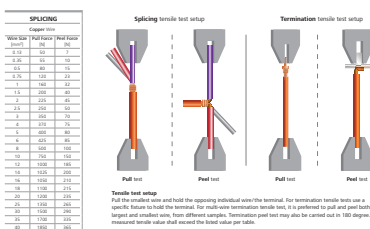
WELD QUALITY GUIDELINE

Critical dimensions of a welded splice nugget		
	A	B
Minimum	0.02mm	1.50mm
Maximum	1.00mm	6.00mm

BROKEN STRANDS GUIDELINE

Strands of cable	Broken or missing allowed
1 to 19	1
20 or more	2
38 or more	max 5% of total strands in splice

TENSILE TEST METHODS & VALUES



TERMINATION					
Wire Size	Copper (mm)	Aluminum (mm)	Weld count	Type	Type
0.12	0.127	0.127	2	18	7
0.25	0.257	0.257	2	18	19
0.50	0.517	0.517	2	18	21
0.75	0.767	0.767	2	18	23
0.95	0.917	0.917	2	18	25
1.25	1.20	1.20	2	18	27
1.50	1.45	1.45	2	18	29
1.75	1.70	1.70	2	18	31
2.50	2.45	2.45	2	18	33
4	3.75	3.75	2	18	35
5	4.95	4.95	2	18	37
6	6.05	6.05	2	18	39
8	8.05	8.05	2	18	41
10	10.05	10.05	2	18	43
12	12.05	12.05	2	18	45
15	15.05	15.05	2	18	48
18	18.05	18.05	2	18	50
25	25.05	25.05	2	18	53
35	35.05	35.05	2	18	56
45	45.05	45.05	2	18	59
60	60.05	60.05	2	18	62
80	80.05	80.05	2	18	65
100	100.05	100.05	2	18	68
120	120.05	120.05	2	18	71
150	150.05	150.05	2	18	74
180	180.05	180.05	2	18	76
250	250.05	250.05	2	18	80
350	350.05	350.05	2	18	84
450	450.05	450.05	2	18	88
600	600.05	600.05	2	18	92
800	800.05	800.05	2	18	96
1000	1000.05	1000.05	2	18	100
1200	1200.05	1200.05	2	18	104
1500	1500.05	1500.05	2	18	108
1800	1800.05	1800.05	2	18	112
2500	2500.05	2500.05	2	18	116
3500	3500.05	3500.05	2	18	120
4500	4500.05	4500.05	2	18	124
6000	6000.05	6000.05	2	18	128
8000	8000.05	8000.05	2	18	132
10000	10000.05	10000.05	2	18	136
12000	12000.05	12000.05	2	18	140
15000	15000.05	15000.05	2	18	144
18000	18000.05	18000.05	2	18	148
25000	25000.05	25000.05	2	18	152
35000	35000.05	35000.05	2	18	156
45000	45000.05	45000.05	2	18	160
60000	60000.05	60000.05	2	18	164
80000	80000.05	80000.05	2	18	168
100000	100000.05	100000.05	2	18	172
120000	120000.05	120000.05	2	18	176
150000	150000.05	150000.05	2	18	180
180000	180000.05	180000.05	2	18	184
250000	250000.05	250000.05	2	18	188
350000	350000.05	350000.05	2	18	192
450000	450000.05	450000.05	2	18	196
600000	600000.05	600000.05	2	18	200
800000	800000.05	800000.05	2	18	204
1000000	1000000.05	1000000.05	2	18	208
1200000	1200000.05	1200000.05	2	18	212
1500000	1500000.05	1500000.05	2	18	216
1800000	1800000.05	1800000.05	2	18	220

WIRE SPECIFICATIONS

ISO METRIC					
SAE AWG		Metric		ISO 10642/1	
SAE	Metric	Metric Cross Section Area (mm²)	SAE	Metric	SAE
10	0.127	0.0127	2	18	7
12	0.157	0.0157	3	20	19
14	0.187	0.0187	4	22	21
16	0.217	0.0217	5	24	22
18	0.247	0.0247	6	26	24
20	0.277	0.0277	7	28	27
22	0.307	0.0307	8	30	29
24	0.337	0.0337	9	32	31
26	0.367	0.0367	10	34	33
28	0.397	0.0397	11	36	35
30	0.427	0.0427	12	38	37
32	0.457	0.0457	13	40	39
34	0.487	0.0487	14	42	41
36	0.517	0.0517	15	44	43
38	0.547	0.0547	16	46	45
40	0.577	0.0577	17	48	47
42	0.607	0.0607	18	50	49
44	0.637	0.0637	19	52	51
46	0.667	0.0667	20	54	53
48	0.697	0.0697	21	56	55
50	0.727	0.0727	22	58	57
52	0.757	0.0757	23	60	59
54	0.787	0.0787	24	62	61
56	0.817	0.0817	25	64	63
58	0.847	0.0847	26	66	65
60	0.877	0.0877	27	68	67
62	0.907	0.0907	28	70	69
64	0.937	0.0937	29	72	71
66	0.967	0.0967	30	74	73
68	0.997	0.0997	31	76	75
70	1.027	0.1027	32	78	77
72	1.057	0.1057	33	80	79
74	1.087	0.1087	34	82	81
76	1.117	0.1117	35	84	83
78	1.147	0.1147	36	86	85
80	1.177	0.1177	37	88	87
82	1.207	0.1207	38	90	89
84	1.237	0.1237	39	92	91
86	1.267	0.1267	40	94	93
88	1.297	0.1297	41	96	95
90	1.327	0.1327	42	98	97
92	1.357	0.1357	43	100	99
94	1.387	0.1387	44	102	101
96	1.417	0.1417	45	104	103
98	1.447	0.1447	46	106	105
100	1.477	0.1477	47	108	107
102	1.507	0.1507	48	110	109
104	1.537	0.1537	49	112	111
106	1.567	0.1567	50	114	113
108	1.597	0.1597	51	116	115
110	1.627	0.1627	52	118	117
112	1.657	0.1657	53	120	119
114	1.687	0.1687	54	122	121
116	1.717	0.1717	55	124	123
118	1.747	0.1747	56	126	125
120	1.777	0.1777	57	128	127
122	1.807	0.1807	58	130	129
124	1.837	0.1837	59	132	131
126	1.867	0.1867	60	134	133
128	1.897	0.1897	61	136	135
130	1.927	0.1927	62	138	137
132	1.957	0.1957	63	140	139
134	1.987	0.1987	64	142	141
136	2.017	0.2017	65	144	143
138	2.047	0.2047	66	146	145
140	2.077	0.2077	67	148	147
142	2.107	0.2107	68	150	149
144	2.137	0.2137	69	152	151
146	2.167	0.2167	70	154	153
148	2.197	0.2197	71	156	155
150	2.227	0.2227	72	158	157
152	2.257	0.2257	73	160	159
154	2.287	0.2287	74	162	161
156	2.317	0.2317	75	164	163
158	2.347	0.2347	76	166	165
160	2.377	0.2377	77	168	167
162	2.407	0.2407	78	170	169
164	2.437	0.2437	79	172	171
166	2.467	0.2467	80	174	173
168	2.497	0.2497	81	176	175
170	2.527	0.2527	82	178	177
172	2.557	0.2557	83	180	179
174	2.587	0.2587	84	182	181
176	2.617	0.2617	85	184	183
178	2.647	0.2647	86	186	185
180	2.677	0.2677	87	188	187
182	2.707	0.2707	88	190	189
184	2.737	0.2737	89	192	191
186	2.767	0.2767	90	194	193
188	2.797	0.2797	91	196	195
190	2.827	0.2827	92	198	197
192	2.857	0.2857	93	200	199
194	2.887	0.2887	94	202	201
196	2.917	0.2917	95	204	203
198	2.947	0.2947	96	206	205
200	2.977	0.2977	97		

为确保选择无误，了解影响焊接周期的各种要素很重要。功率公式的影响因素：超声波振动的持续时间，振动纵向位移的振幅，以及垂直(正交)施加于振动方向的压缩力。在焊接周期中启动和维持振动(运动)所需的功率定义为： $P \approx C \times F_o \times A \times f$ ，其中 C =预定义常量， P =功率(瓦)， F_o =力(牛顿)， A =振幅(微米)， f =频率(Hz)。

*注意：力由乘法算出：

力=施加的下压力×摩擦系数=压力×气缸区域×摩擦系数

能量计算过程： $E = P \times T$ ，其中 E =能量(焦耳)， P =功率(瓦)， T =时间(秒)。

因此，完整的“焊接至能量”工艺应定义为： $E \approx 4 \times F_o \times A \times f \times T$

精心设计的超声波金属焊接系统通过提供指定的能量值来补偿金属表面条件的正常变化。这通过允许调整时间(T)以满足材料条件并提供所需能量实现。

焊接铜与铝的应用设计经验法则

	铜	铝
功率*：焊接区域 [mm ²] × 力 [W/mm ²]	33 W/mm ²	24 W/mm ²
力**：焊接区域 [mm ²] × 力 [N/mm ²]	20 N/mm ²	15 N/mm ²
振幅***：@ 90 % 发生器输出功率	30 µm	24 µm
拉力(导线至端子焊接)	视材料而定。 USCar 38-1 作为指南	

为补偿公差和应用变化，计算期间应注意下列安全裕度：

* 设计用于最大 80% 的发生器焊接功率

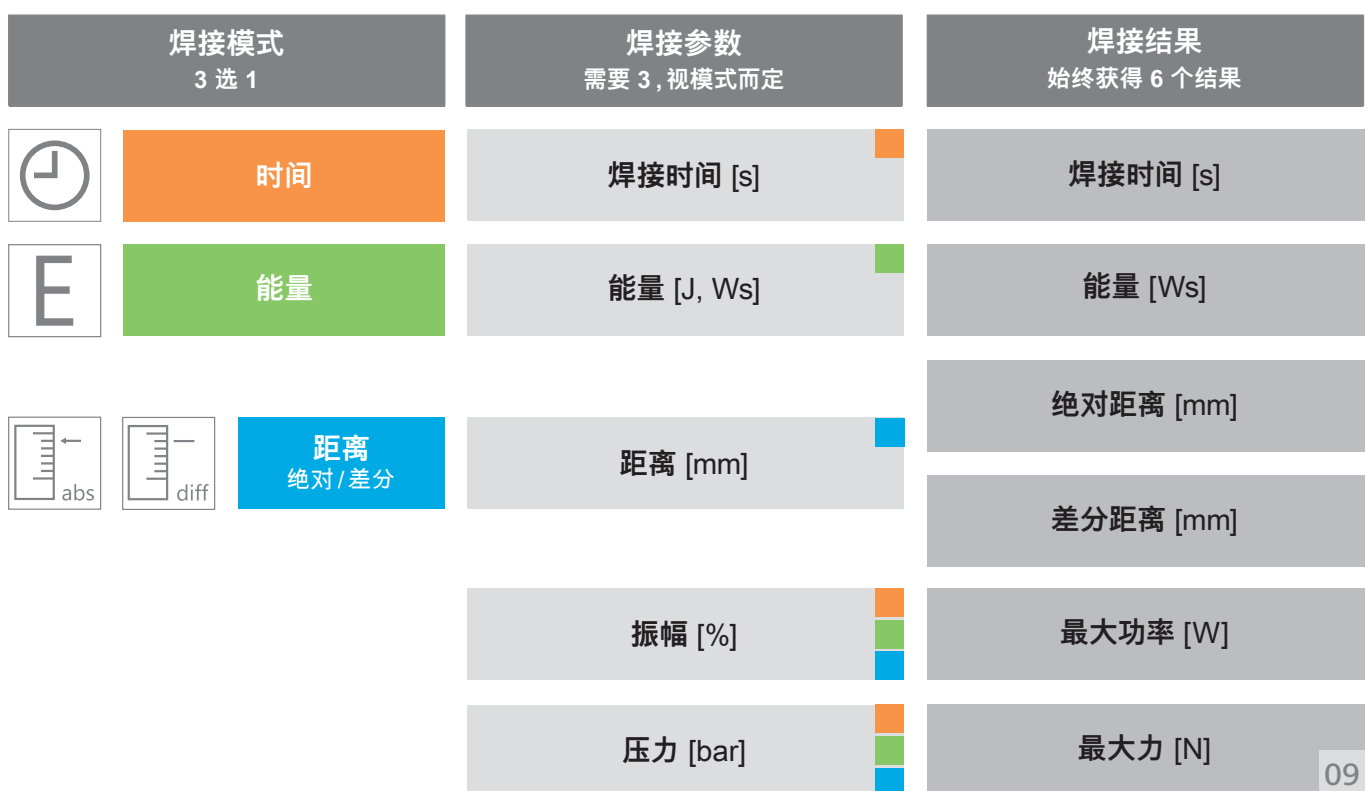
** 设计用于最大 90% 的标称焊接力

*** 设计用于最小 80% 到最大 90% 的发生器输出振幅

09 上方信息图表重点展示超声波金属焊接工艺中的不同焊接模式、参数和结果

定义和控制焊接工艺

以下信息图表重点展示超声波金属焊接工艺中的不同焊接模式、参数和结果。



时间焊接模式常用于新应用，有助于确定所需能量。得益于焊接时间短，该模式具有防止过度焊接的优势。一旦建立正确的能量水平，用户可切换至能量焊接模式。请注意：如果振幅和压力保持不变，增加焊接时间也会提高能量输出。

能量焊接模式是实现更加一致的拉力测试结果的推荐之选，在已定义所需能量时使用。在这种情况下，优点在于始终使用相同的能量进行焊接，补偿轻微的材料或工具波动。如果振幅和压力保持不变，增加能量也会提高焊接时间。此外，如果能量和压力保持不变，提升振幅会减少焊接时间，如果能量和振幅保持不变，则提升压力也会减少焊接时间。

人为因素

影响超声波金属焊接工艺成功与否的最后一个因素是人为干预。必须对操作员进行妥善培训，了解焊接工艺前后是否有材料准备和处理的需要。任何手工工艺或任务的可重复性也会影响焊接工艺的结果。



10 Greg Ruscak,
应用经理
TELSONIC 解决方案
LLC